



Filozofická
fakulta

Genius loci ...

Vážení zájemci o studium na FF UP v Olomouci,

představujeme Vám výsledky z akce „SPF testy nanečisto“ z 25. 11. 2016 a 21. 1. 2017, kde jste v rámci Dnů otevřených dveří měli možnost si vyzkoušet absolvovat testy studijních předpokladů používané při přijímacím řízení na Filozofické fakultě Univerzity Palackého v Olomouci.

V první řadě je nutné upozornit, že šlo pouze o pilotní testování. Tyto výsledky se Vám nikde nezapočítávají, jsou vyhodnocovány zcela anonymně a je nutné je brát pouze jako orientační údaj, neboť se porovnáváte pouze se skupinou aktivních zájemců – návštěvníků DOD. Percentilové pořadí je velmi ovlivněno nižším počtem vyplněných archů v obou verzích. Přijímací testy jsou obecně obtížnější a je celkem běžné mít správně například „jen“ polovinu otázek. Též je nutné upozornit, že v ostrých přijímacích testech je hranice přijetí pro každý obor jiná. Z těchto důvodů Vám ani nemůžeme sdělit, zda byste na základě Vašich výsledků byli či nebyli přijati. Testy nanečisto slouží zejména k tomu, abyste měli možnost se seznámit s podobou přijímacích testů a s procesem jejich administrace. Také se na základě těchto pilotních výsledků snažíme přijímací testy zkvalitnit.

V tabulce naleznete své výsledky pomocí svého unikátního anonymního kódu, který je tvořený postupně:

- prvními dvěma písmeny křestního jména Vaší matky (např. MA pro Marii),
- dnem vašeho narození (např. 04 pro 4. 5. 1995),
- prvními dvěma písmeny místa vašeho narození (např. OL pro Olomouc),
- posledním dvojčíslím vašeho telefonního čísla (např. 99 u čísla 602 771 299).

Pro hledání v seznamu použijte nejlépe funkci Find, tj. ctrl+F.

K anonymnímu kódu jsme ještě připojili koncovku „_A“ pokud jste byli na prvním termínu v listopadu nebo koncovku „_B“ pokud jste se akce zúčastnili v lednu.

Jménem týmu pro tvorbu přijímacích testů i celé FF UP Vám ještě jednou děkujeme za Váš zájem a přejeme Vám hodně zdarů při volbě vysoké školy i u přijímacího řízení na jaře 2017.

V Olomouci dne 26. 1. 2017

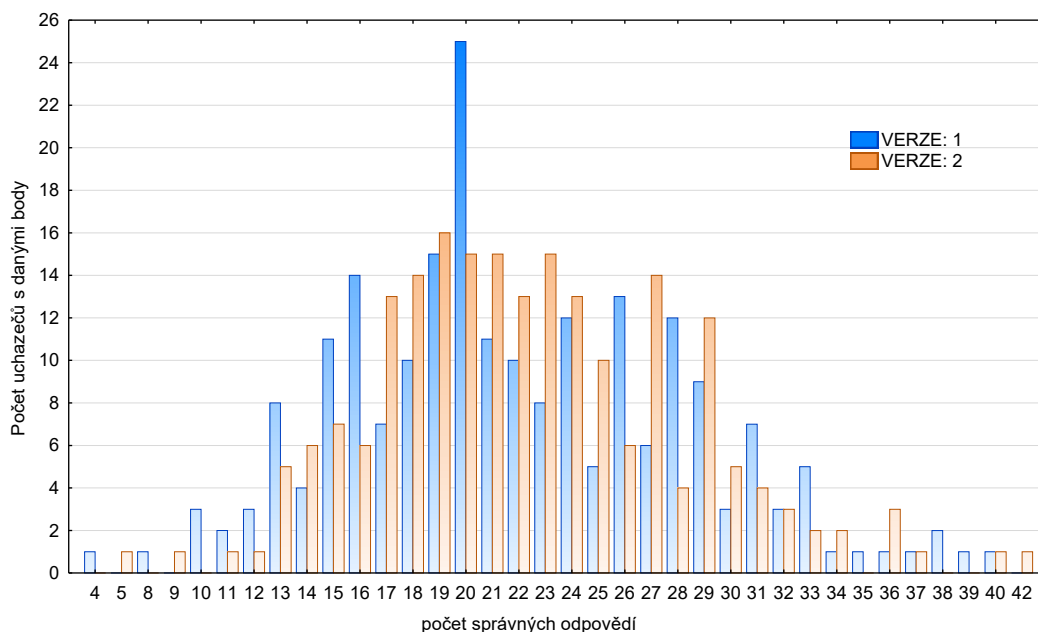
Za celý tým tvůrců SPF
Miroslav Charvát a Lucie Viktorová

Celkové statistiky testů na nečisto:

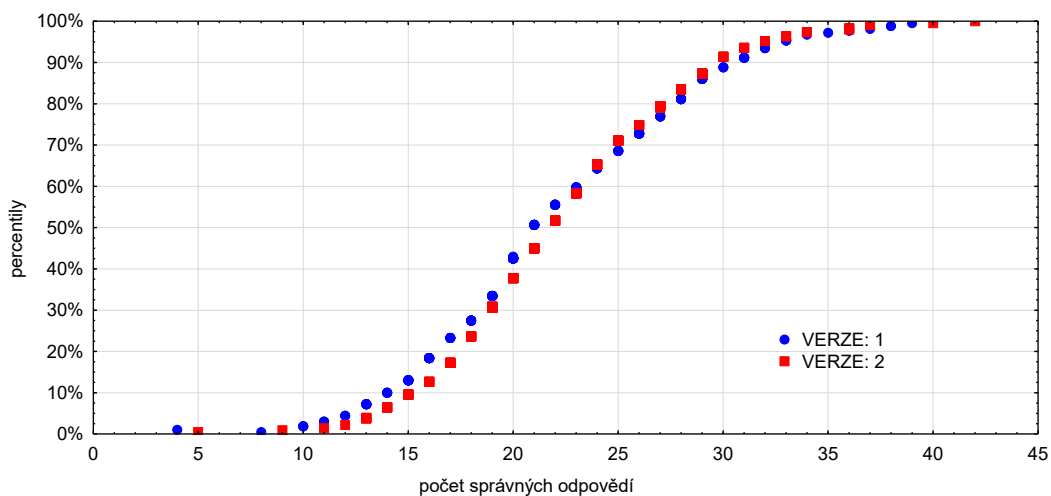
Testy si přišlo vyzkoušet celkem 426 zájemců, z toho 328 (77 %) žen a 98 (23 %) mužů. Průměrný věk byl 19,7 let. Základní souhrnné statistiky uvádí následující tabulka:

Verze	(N) Počet uchazečů	Průměr bodů celkem	Směrodatná odchylka	Medián	Modus	Min. bodů	Max. bodů
01	216	21,96	6,43	21	20	4	40
02	210	22,37	5,83	22	19	5	42
Celkem	426	22,16	6,14	21	20	4	42

Rozložení počtu správných odpovědí v obou verzích



Převod počtu správných odpovědí na percentily v obou verzích



Anonymní kód	Verze testu	Počet správných	Percentil
HA31OS01_A	1	20	43%
IV07VR72_A	2	17	17%
KA21OL00_A	1	13	7%
TA30DR10_A	2	17	17%
JA26OL42_A	1	14	10%
MA23BR12_A	1	23	60%
ÍV20OL40_A	2	24	65%
BL10VY37_A	1	29	86%
MA19VY72_A	2	19	31%
J117BE72_A	1	20	43%
LE11BR78_A	1	20	43%
MI13OL44_A	2	21	45%
RE18HK70_A	2	21	45%
BE30JA66_A	1	14	10%
PE28OP67_A	2	18	24%
VE26VR88_A	2	20	38%
AN13OS33_A	1	22	56%
QU30BR68_A	2	14	6%
MI08JE16_A	1	35	97%
BA09OL20_A	2	28	83%
MA02OL03_A	1	32	93%
AN13MA61_A	2	18	24%
AL07OS44_A	1	29	86%
MA29BR38_A	2	23	58%
HA10ZN61_A	1	28	81%
LE19OS36_A	1	29	86%
VL21OS98_A	2	19	31%
MA22ZL47_A	2	34	97%
AL07UH93_A	1	17	23%
KA02OS77_A	1	19	33%
EV28BR16_A	2	22	52%
IL13OS52_A	1	16	18%
J110OS53_A	2	17	17%
HE01ZA40_A	2	15	10%
LE15ST00_A	1	30	89%
SV21NO06_A	2	32	95%
RE30KO69_A	2	28	83%
SA27KO60_A	1	32	93%
LE07PR40_A	2	24	65%
HA06ZL40_A	1	15	13%

ŠŤ17BR03_A	2	9	1%
MI04BR47_A	1	15	13%
RE30ZL47_A	1	21	51%
LU28VY05_A	2	36	98%
MA10VY28_A	1	24	64%
MI20VY27_A	2	20	38%
MA14HA56_A	1	27	77%
MO23BE17_A	2	31	94%
VE04HR34_A	2	33	96%
TA25TR16_A	1	19	33%
VE23MB60_A	2	25	71%
LE11OS08_A	1	36	98%
LE11OS43_A	2	17	17%
JA31BR88_A	1	20	43%
KA24UR62_A	2	11	1%
AL19SU23_A	1	18	27%
SI18OS48_A	1	26	73%
MA18KK88_A	1	15	13%
IV05SL76_A	2	21	45%
AL22CH68_A	1	26	73%
MA01FR17_A	2	19	31%
PE19KO09_A	1	28	81%
DA06PR45_A	2	21	45%
MO03OL11_A	1	29	86%
LE24PA23_A	2	21	45%
EL04OD93_A	1	24	64%
RA16JI19_A	1	26	73%
BA17CE06_A	1	19	33%
MA04FR01_A	2	24	65%
LE29BR03_A	2	22	52%
ZU03KA64_A	1	16	18%
EV23BE99_A	2	28	83%
PE20OL35_A	1	16	18%
ZD12OS16_A	2	19	31%
VL20ŠT24_A	1	19	33%
ST16ZL79_A	2	25	71%
ZU21ZL31_A	2	20	38%
MI16KO35_A	1	40	100%
LE08SU18_A	2	36	98%
JI20ŠU96_A	1	20	43%
VE03ŠU50_A	2	12	2%
IV10CT56_A	2	29	87%
SA06HA07_A	1	20	43%

JA18PL77_A	1	23	60%
HA21PR51_A	2	21	45%
DA11HR29_A	2	27	79%
BA22HR23_A	1	16	18%
JA27OL42_A	2	18	24%
SI09CB96_A	2	19	31%
EL14TŘ87_A	1	16	18%
KR09KO62_A	2	30	91%
MI06SO47_A	1	25	69%
MO18SO17_A	2	31	94%
RE10BR02_A	1	12	4%
LE15NY05_A	2	15	10%
MA29PO35_A	1	13	7%
JA12SU62_A	2	21	45%
SY04TŘ04_A	1	13	7%
JA14ZL81_A	2	23	58%
SO11PŘ95_A	1	15	13%
IV21OS60_A	1	28	81%
HA23RY84_A	2	23	58%
DA02BR42_A	1	31	91%
HA07BR31_A	2	15	10%
DE28OS12_A	1	20	43%
HE13RY01_A	2	14	6%
DA14FR72_A	1	38	99%
IV24OS22_A	2	14	6%
MA07HR09_A	2	14	6%
LA31RY60_A	1	29	86%
SI27BR99_A	2	21	45%
SV21KR21_A	1	27	77%
HO15OS49_A	2	19	31%
RA27FR77_A	1	17	23%
JU29OS66_A	2	23	58%
RE08BR33_A	1	23	60%
AL25VA35_A	1	17	23%
IV21PA42_A	2	29	87%
JA17JI30_A	1	28	81%
PA26PA77_A	2	26	75%
JI12PA00_A	1	28	81%
VI03BR18_A	2	22	52%
JA19JI63_A	1	26	73%
LE16PE37_A	2	24	65%
HE18OL41_A	1	26	73%
JA11OL78_A	2	23	58%

RA26HR78_A	2	21	45%
JA08VI80_A	1	30	89%
Jl25PA49_A	2	26	75%
VE14PŘ93_A	2	20	38%
NU10ZL78_A	2	18	24%
ZD17PŘ74_A	1	22	56%
RE09ZL21_A	1	28	81%
LU15ŽA00_A	1	22	56%
PA05OS37_A	2	18	24%
NI05OS97_A	1	22	56%
PA15PR34_A	1	19	33%
LU19PR18_A	2	23	58%
HE19PR79_A	1	21	51%
RE01CA98_A	1	15	13%
LE13TR57_A	2	27	79%
LE27TR01_A	1	14	10%
HA05PR03_A	2	32	95%
PA31OS78_A	1	31	91%
MI22HR04_A	2	24	65%
MI08HR58_A	1	28	81%
MI30ZL74_A	1	19	33%
JA09PI49_A	2	17	17%
OL30FR36_A	1	28	81%
MA26NO16_A	2	22	52%
JA22PE97_A	1	26	73%
EV19VS05_A	2	24	65%
PE19OS66_A	1	21	51%
HA19NO03_A	2	24	65%
MI17NO75_A	1	13	7%
MI20PR43_A	2	30	91%
RA25OS41_A	1	16	18%
RE15JE98_A	1	13	7%
EV23JE13_A	2	17	17%
HE08PO64_A	1	21	51%
IV07OL47_A	1	26	73%
IV07OL08_A	2	20	38%
SI29OS83_A	1	19	33%
Jl18OS50_A	2	22	52%
MO17VR63_A	1	20	43%
AN15BR87_A	2	17	17%
Jl31ZL44_A	1	39	100%
LE17CB38_A	2	22	52%
SA06BI96_A	1	25	69%

ER13ZA36_A	2	27	79%
MA04ZA80_A	1	27	77%
EV07ZA96_A	2	29	87%
SY12ZL29_A	1	20	43%
EV08VA94_A	2	29	87%
AN21ŠT26_A	2	26	75%
MA18HR01_A	2	24	65%
RE15OS97_A	1	18	27%
BL09LI11_A	1	16	18%
KA19OP96_A	2	25	71%
MA08RY87_A	1	33	95%
JA22RY77_A	2	27	79%
PA13OP59_A	2	27	79%
PE24KA00_A	1	21	51%
BL26TE44_A	1	19	33%
RE12JE85_A	2	24	65%
OL24NO74_A	1	31	91%
IV28PR77_A	2	20	38%
MA11KU27_A	1	33	95%
EV03OS44_A	2	19	31%
LU13NO22_A	1	24	64%
MI03UH90_A	2	18	24%
HA14PR18_A	2	22	52%
TA01PR11_A	2	30	91%
IL10PR13_A	1	28	81%
JA31PV70_A	2	24	65%
EV20NO06_A	2	27	79%
IV20KR20_A	1	28	81%
AN27KR05_A	2	19	31%
RA21VY92_A	1	28	81%
LA27VY96_A	2	15	10%
DA15OS20_A	1	20	43%
HP07UO77_A	1	11	3%
LP06SA_A	2	5	0%
ZD12PR81_A	2	27	79%
MI22BE14_A	1	20	43%
IR24PR73_A	1	16	18%
DA26PR77_A	2	23	58%
IV22KR50_A	1	31	91%
HA05PŘ96_A	2	29	87%
MA28BO91_A	1	20	43%
MO06OL71_A	1	23	60%
IR26OP77_A	1	11	3%

J106CH81_A	1	21	51%
SI06OS56_A	2	31	94%
PE25PŘ95_A	1	19	33%
SV13PŘ85_A	2	24	65%
HA11HK02_A	1	31	91%
DA30LI79_A	2	15	10%
MO21LI89_A	1	23	60%
PE25HA54_A	1	24	64%
HA05BO24_A	2	26	75%
IV13OL98_A	1	19	33%
BL01OL64_A	2	13	4%
JA27OS50_A	2	21	45%
MA22KE65_A	1	10	2%
MA29BI96_A	1	26	73%
LE14BO77_A	2	29	87%
HA30ZL53_A	1	26	73%
JA02ZL42_A	2	37	99%
JA30ZL45_A	1	23	60%
DE03OP22_A	2	24	65%
VI08ZI52_A	2	13	4%
RE09ŠU73_A	1	22	56%
KA21OS64_A	2	22	52%
LI28PR70_A	1	24	64%
NA10PŘ23_A	2	23	58%
LU13SO01_A	1	20	43%
HA20OL85_A	1	24	64%
JA26OL69_A	2	26	75%
MA24OL88_A	1	27	77%
LE15ŠT47_A	2	22	52%
JA29RY02_A	1	20	43%
MA08KR87_A	1	24	64%
DA07ZL43_A	2	27	79%
OD06TO99_A	2	14	6%
AN25BR80_A	2	29	87%
KA04BR16_A	1	10	2%
MA21BR76_A	2	29	87%
MA04ŠT67_A	1	24	64%
JA04SU39_A	2	25	71%
SO10SL89_A	1	21	51%
RU29CH53_A	1	27	77%
MA19OS33_A	2	19	31%
SY20OS05_A	2	17	17%
JA15FM42_A	1	20	43%

JA05PO28_A	1	21	51%
EV16TR45_A	2	18	24%
MA28PI40_A	1	15	13%
ZD01BR90_A	2	21	45%
HA28UH11_A	2	20	38%
PA29CE29_A	2	33	96%
MA18ST78_A	2	21	45%
MA28TR30_B	1	30	89%
DA23TR94_B	2	18	24%
AL27OP77_B	1	22	56%
MO03OL84_B	1	18	27%
JA31CE66_B	2	27	79%
PA23OS92_B	2	16	13%
PA02OS59_B	1	20	43%
JA11BR50_B	1	18	27%
HO15OS49_B	2	26	75%
JA27FR78_B	1	34	97%
SA15FM42_B	1	31	91%
RE27FM95_B	2	22	52%
DA11PR49_B	2	23	58%
MI31FM20_B	1	13	7%
LY16KA80_B	1	33	95%
MA20ŠU87_B	1	20	43%
PA21NY58_B	2	19	31%
AL19HR07_B	1	24	64%
AN23PR75_B	2	20	38%
LE30SL29_B	1	18	27%
PA01DO89_B	1	18	27%
JA24RY36_B	2	14	6%
PA22DO20_B	2	20	38%
IV12ZL46_B	1	10	2%
EV09BO97_B	1	12	4%
JA22KA23_B	2	30	91%
JA13KA71_B	1	29	86%
LI10UH64_B	2	18	24%
JA08JI56_B	2	17	17%
LU21PR56_B	2	21	45%
MA31OS11_B	1	27	77%
AN01BR29_B	2	20	38%
LA29ZB50_B	1	20	43%
SO18FR91_B	2	27	79%
HE04ZL98_B	1	26	73%
AL19SU23_B	2	22	52%

DA04KO73_B	2	23	58%
Jl21TU95_B	2	28	83%
AL12PŘ12_B	1	29	86%
HO28BR87_B	1	20	43%
JA03BR04_B	2	25	71%
MA09OS12_B	1	18	27%
ST27NO00_B	2	16	13%
MO20NO01_B	1	17	23%
MA20UH81_B	2	17	17%
ŠA05OS84_B	1	13	7%
JA04KR02_B	1	17	23%
AL11MA18_B	1	8	0%
ZU17MA95_B	2	27	79%
RO01OS99_B	2	40	100%
AN06OS44_B	1	22	56%
OL10NO26_B	2	20	38%
DI23TŘ19_B	1	13	7%
MA26BO51_B	2	18	24%
LU15ST22_B	1	25	69%
DA06BR44_B	2	27	79%
SO22BR58_B	1	25	69%
PA17JH21_B	2	25	71%
EV15OM97_B	2	19	31%
NU10ZL78_B	1	20	43%
LE28PR03_B	1	38	99%
MA13FR71_B	2	19	31%
JA27FR77_B	1	29	86%
MA14TR10_B	2	25	71%
IR20PR44_B	1	26	73%
RO21HV52_B	1	20	43%
AN19JA94_B	2	36	98%
JA12ŠT59_B	1	37	98%
HA12HA91_B	2	27	79%
ZU28ŠT28_B	1	19	33%
JA19JI63_B	1	32	93%
HA02MA60_B	2	15	10%
LE29OS85_B	2	29	87%
Jl04RY24_B	1	33	95%
KA24OL74_B	2	25	71%
SY18OS25_B	2	16	13%
VE12HR03_B	2	18	24%
PE11OS89_B	1	22	56%
LU10VR44_B	2	25	71%

LU16PR24_B	1	21	51%
KA05HR55_B	2	13	4%
MA26OS08_B	1	15	13%
AN05BA31_B	1	4	1%
MA11VS05_B	2	22	52%
MA26BÍ16_B	1	21	51%
J125PR80_B	1	19	33%
KA02PR33_B	2	21	45%
ŠA28PV35_B	2	22	52%
MA12ŠT17_B	1	15	13%
JA29BR77_B	1	16	18%
KA27PR78_B	2	15	10%
DA25HO00_B	2	17	17%
WI26JI92_B	1	18	27%
AN06JI48_B	2	42	100%
MA02ZÁ67_B	2	34	97%
DA16OL83_B	1	31	91%
RU13OL09_B	2	13	4%
JA24ŠT87_B	1	18	27%
LU22PA69_B	2	32	95%
J106CH81_B	1	18	27%
TA31ZL48_B	2	19	31%
RO03OS96_B	1	24	64%
TE23VS70_B	2	29	87%
AN27KO77_B	1	15	13%
RE20FR79_B	1	26	73%
EV22ZL06_B	1	16	18%
MA22UH89_B	1	24	64%
LU08ŠT03_B	2	18	24%
JA06FR60_B	1	26	73%
EV19FR07_B	2	16	13%
RE23PB14_B	1	19	33%
ZD17BO66_B	2	23	58%
IV16OP20_B	2	19	31%
HA06PR06_B	2	23	58%
LE04BR65_B	2	21	45%
XE04OS32_B	1	19	33%
RH199070_B	2	24	65%
HA29HR00_B	2	31	94%
RA25OS41_B	1	20	43%
PE07SL88_B	2	20	38%
PE18TR90_B	1	22	56%
SO180399_B	2	20	38%

MA29TR49_B	1	12	4%
JA27KR31_B	2	16	13%
Jl06VS24_B	1	19	33%
HA08VL62_B	2	16	13%
MA22PV74_B	2	13	4%
VE30PV35_B	1	20	43%
MA11BE31_B	2	20	38%
EV28KR69_B	2	23	58%
EV15PR55_B	1	33	95%
LI06PV10_B	1	14	10%
JA07HR92_B	2	25	71%
MO19HR28_B	1	22	56%
KA30OP94_B	2	17	17%
PE25PR95_B	1	20	43%
MO21LI89_B	2	19	31%
BL09LI11_B	1	21	51%
LU18MA10_B	1	15	13%
IV08ST56_B	2	30	91%
JA30OL73_B	1	28	81%
VE30ZA35_B	1	17	23%
BL08OP88_B	1	23	60%
PE07JI33_B	2	18	24%
AL23KY09_B	2	20	38%
JA28BB33_B	1	17	23%
MA04OL18_B	2	27	79%
RA10FM18_B	1	16	18%
MO03PR09_B	2	23	58%
JA31PR99_B	1	29	86%
IR17SU46_B	2	23	58%
VĚ04UH37_B	1	25	69%
IL07US72_B	2	17	17%
AL11OS45_B	1	16	18%
KO02BA10_B	2	19	31%
BL21BŘ60_B	1	16	18%
DR17ČÁ55_B	2	18	24%
OL11VA16_B	1	23	60%
DA02BR42_B	2	29	87%
VĚ19JI86_B	1	24	64%
JA27JI97_B	1	15	13%
EV22ZN71_B	2	29	87%
JA11ZN00_B	1	20	43%
MA2509OL_B	1	16	18%